



Лаборатория  
ядерных проблем  
им. В. П. Дзелепова



Объединенный  
институт ядерных  
исследований

# Improvement of the energy resolution of ECaI SPD

I. Zimin, V. Baranov, O. P. Gavrishchuk, E. Ginya, N. Huseynov, Yu. A. Kulchitsky,  
A. Maltsev

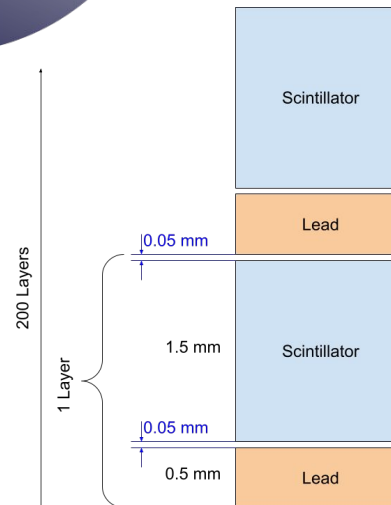
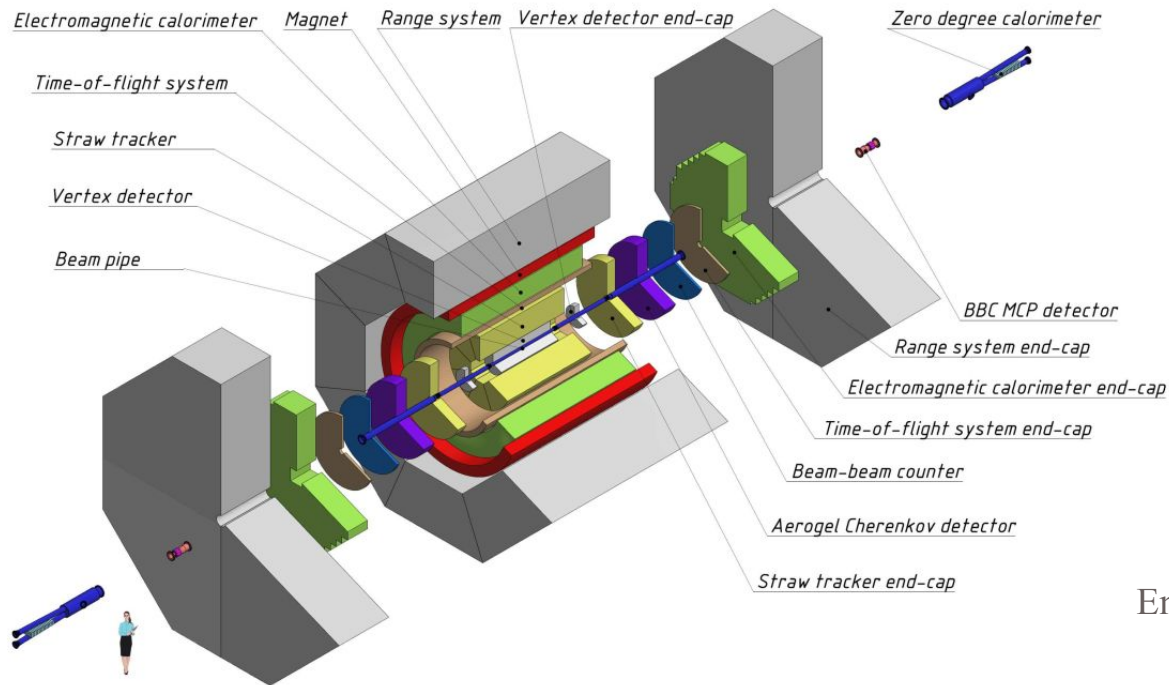
# Electromagnetic Calorimeter (SPD)



Лаборатория  
ядерных проблем  
им. В. П. Джелепова



Объединенный  
институт ядерных  
исследований



End-cup



# Problem & possible solutions



Лаборатория  
ядерных проблем  
им. В. П. Дзелепова



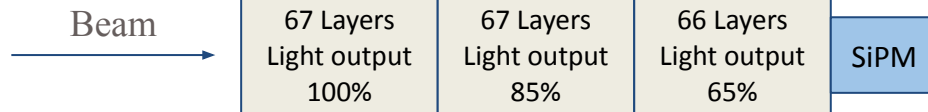
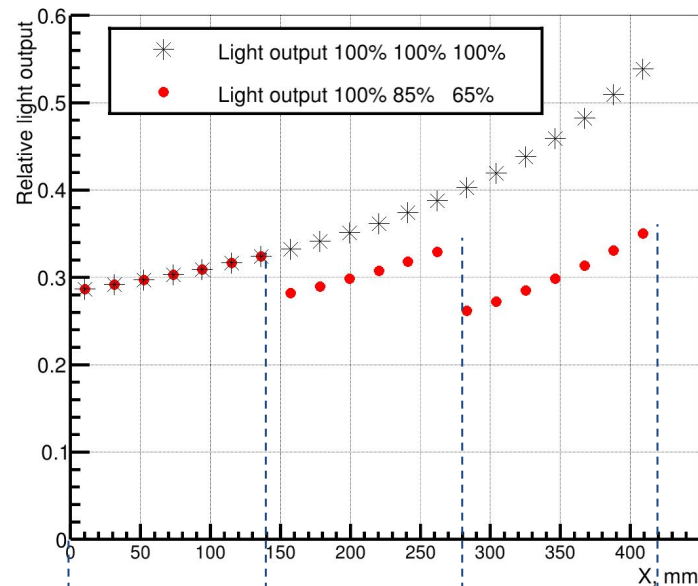
Объединенный  
институт ядерных  
исследований

Now, it is impossible to buy fibers from famous companies for a good price. Russian-made fibers have an attenuation length of 600 mm. This leads to a deterioration in the performance of the detector.

Two possible solutions:

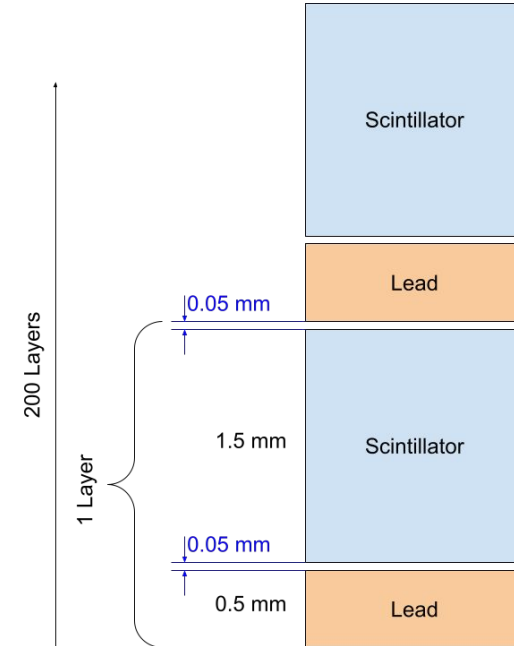
- Improving the characteristics of fibers.
- Using sets of scintillator with different light output to align the light collection from the module (suggested by Oleg Gavrishchuk).

Our goal was to check the second method.





- Monte Carlo model: Geant4 (QGSP\_BERT, G4EmStandardPhysics\_option4).
- The same geometry as the real module. Except transverse size is  $400 \times 400$  mm<sup>2</sup>.
- Beam: electrons and gamma-ray, energy from 0.05 GeV to 8 GeV.
- The Geant4 simulation is only on the level of particle-material interaction.
- For the estimation of the optical and electronics effect on the module characteristics we used empirical methods.



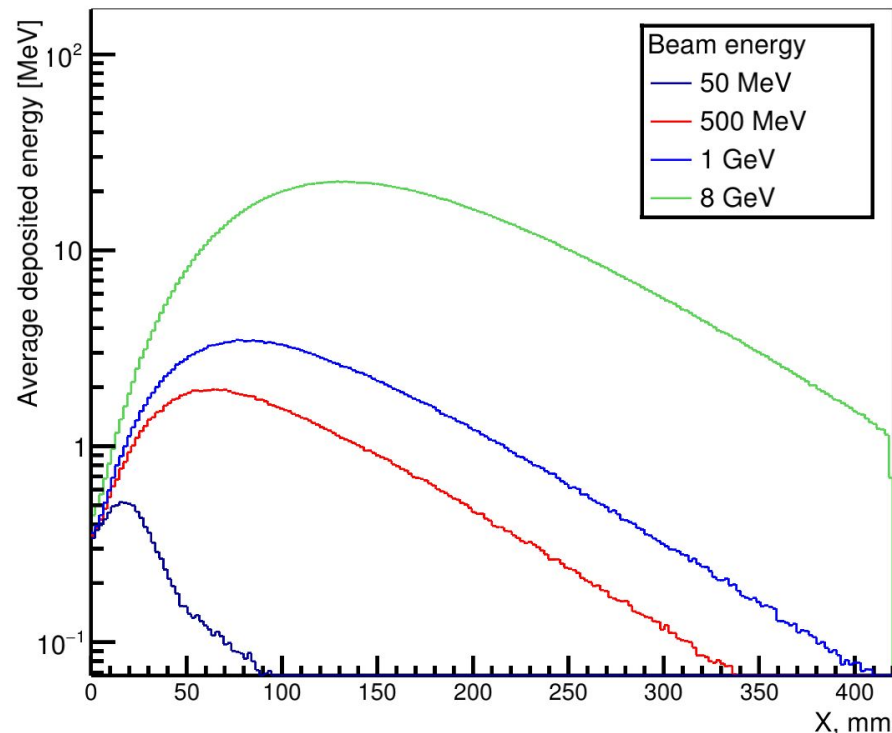
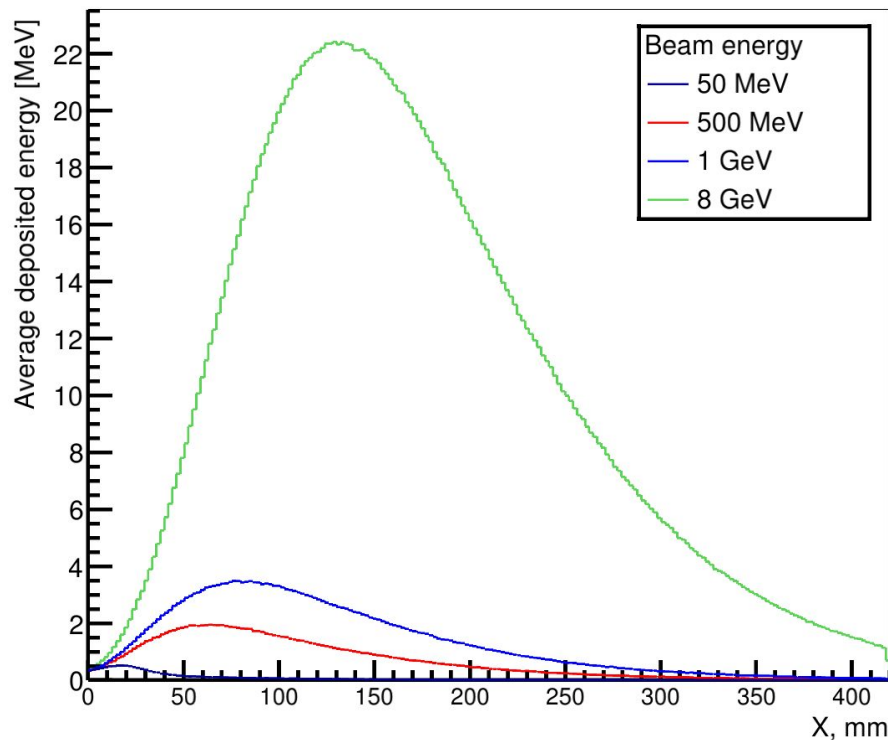
# Longitudinal energy distributions for electrons



Лаборатория  
ядерных проблем  
им. В. П. Джелепова



Объединенный  
институт ядерных  
исследований



# Attenuation of the signal



Лаборатория  
ядерных проблем  
им. В. П. Дзелепова



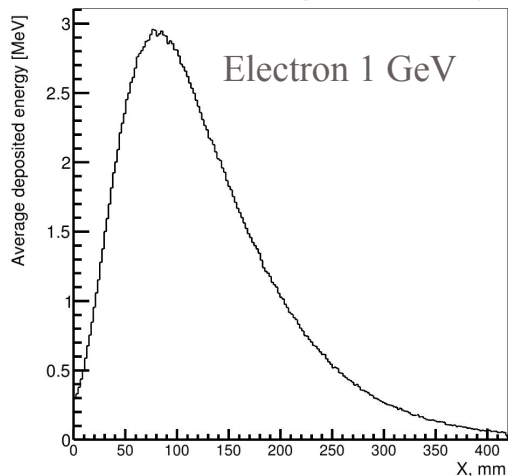
Объединенный  
институт ядерных  
исследований

$$A = 0.5A_0 e^{-(L-x)/\lambda}$$

$A$  - number of detected photons,  $A_0$  - number of photons captured at a point  $x$ ,  $\lambda$  - absorption length,  $L$  - WLS fiber length

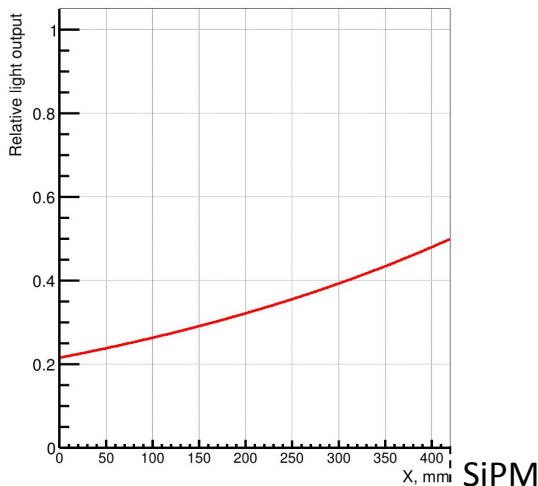
Longitudinal energy distribution.

Beam energy 1 GeV. The light attenuation (L) length = infinity



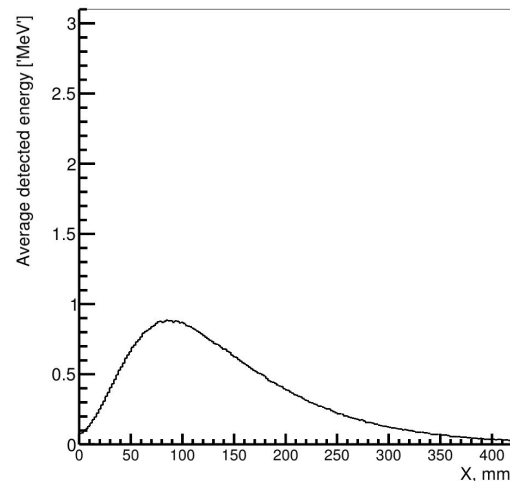
length

The light attenuation (L) length = 500 mm



Longitudinal energy distribution.

Beam energy 1 GeV. The light attenuation (L) length = 500 mm



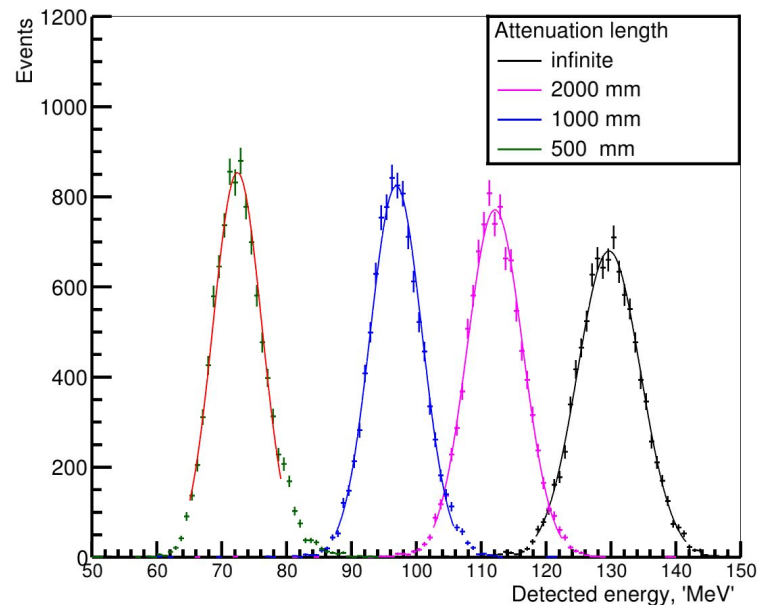
# Energy distributions. Electron 1 GeV



Лаборатория  
ядерных проблем  
им. В. П. Джелепова



Объединенный  
институт ядерных  
исследований



	Infinite	2000 mm	1000 mm	500 mm
$E$ , "MeV"	$129.66 \pm 0.05$	$112.11 \pm 0.05$	$96.82 \pm 0.05$	$72.37 \pm 0.05$
$\sigma$ , "MeV"	$4.84 \pm 0.04$	$4.26 \pm 0.04$	$3.97 \pm 0.04$	$3.70 \pm 0.05$
$\sigma/E$	$3.73 \pm 0.03\%$	$3.80 \pm 0.03\%$	$4.10 \pm 0.05\%$	$5.12 \pm 0.07\%$
chi2/ndf	22/25	28/20	18/17	17/14



Лаборатория  
ядерных проблем  
им. В. П. Дзелепова



Объединенный  
институт ядерных  
исследований

# Simulation based on experimental data



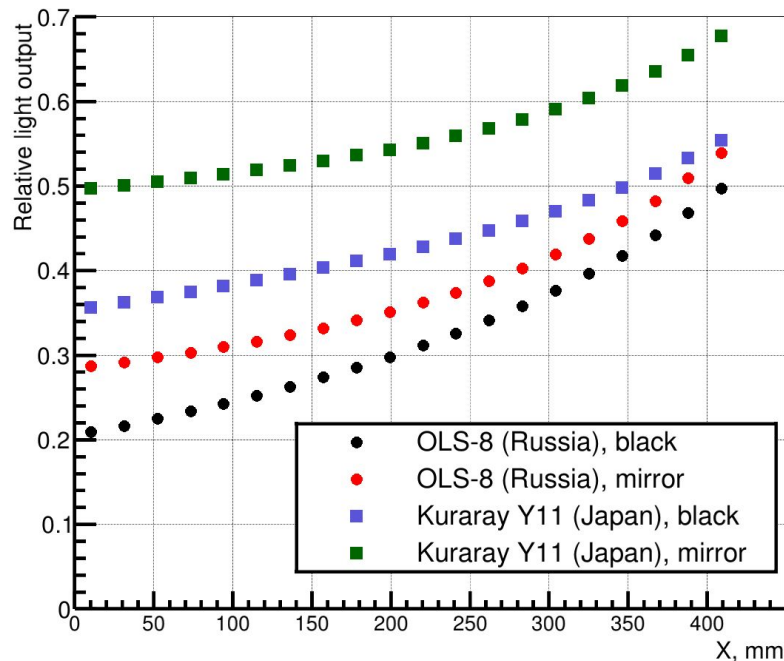
# Attenuation of the signal, experimental data



Лаборатория  
ядерных проблем  
им. В. П. Дзелепова



Объединенный  
институт ядерных  
исследований



Obtained with data measured by Vladimir Baranov and Eduard Ginya

# Linearity. Simulation based on the experimental data.

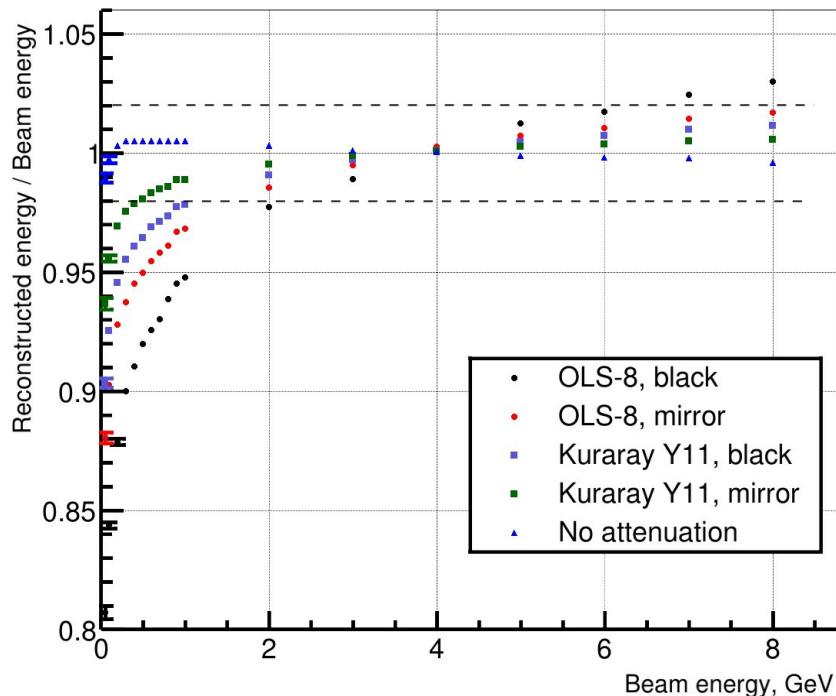


Лаборатория  
ядерных проблем  
им. В. П. Джелепова

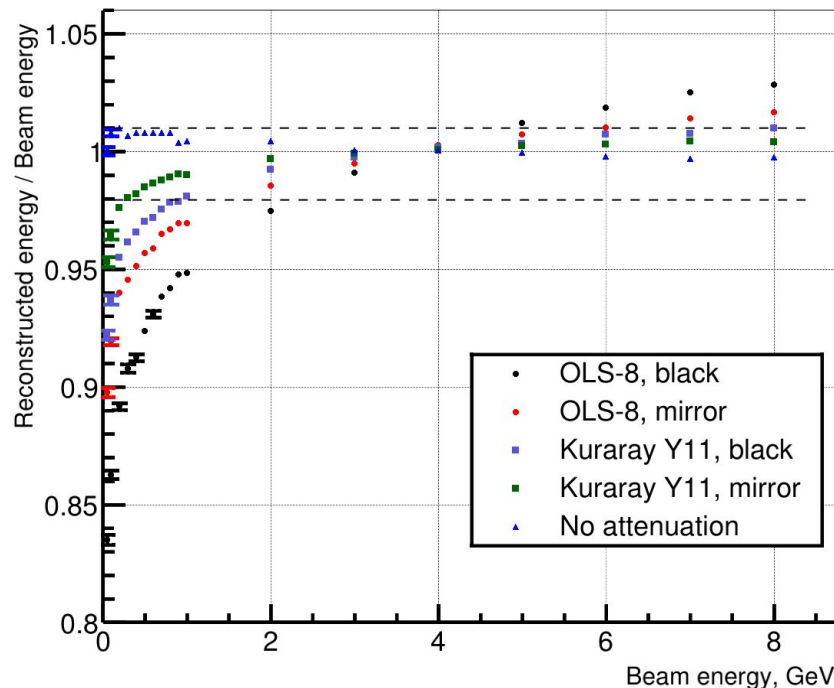


Объединенный  
институт ядерных  
исследований

Electron



Gamma



# Resolution. Simulation based on the experimental data.



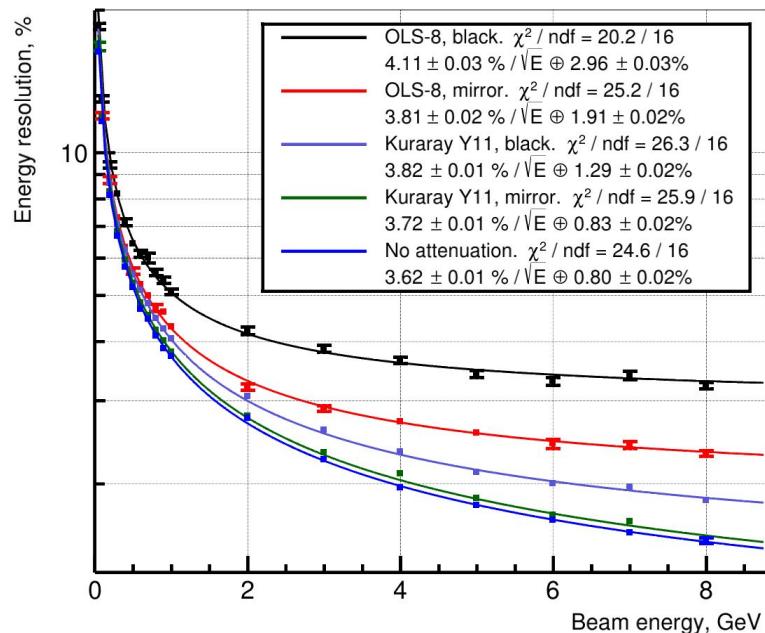
Лаборатория  
ядерных проблем  
им. В. П. Дзельцова



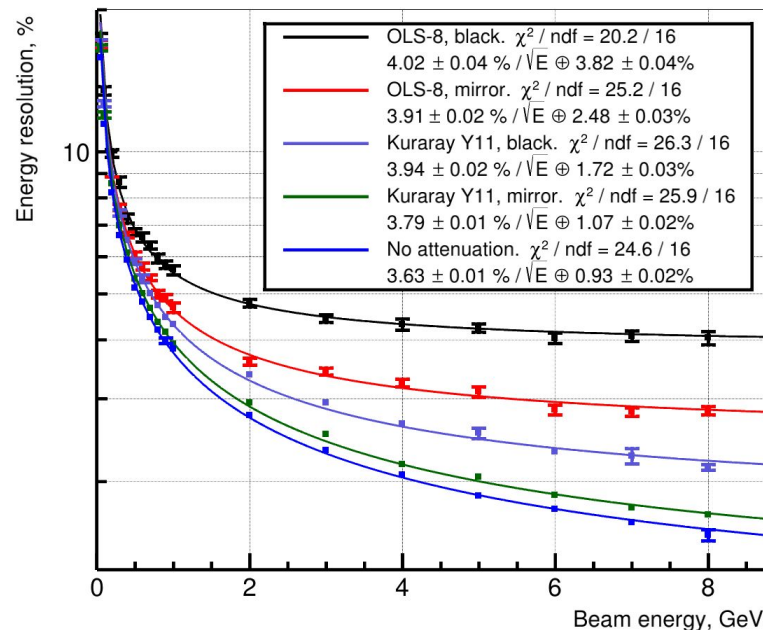
Объединенный  
институт ядерных  
исследований

$$\frac{\sigma}{E} = \frac{a}{\sqrt{E}} \oplus b,$$

Electron



Gamma





Лаборатория  
ядерных проблем  
им. В. П. Джелепова



Объединенный  
институт ядерных  
исследований

# Correction

# Correction of the attenuation of the signal

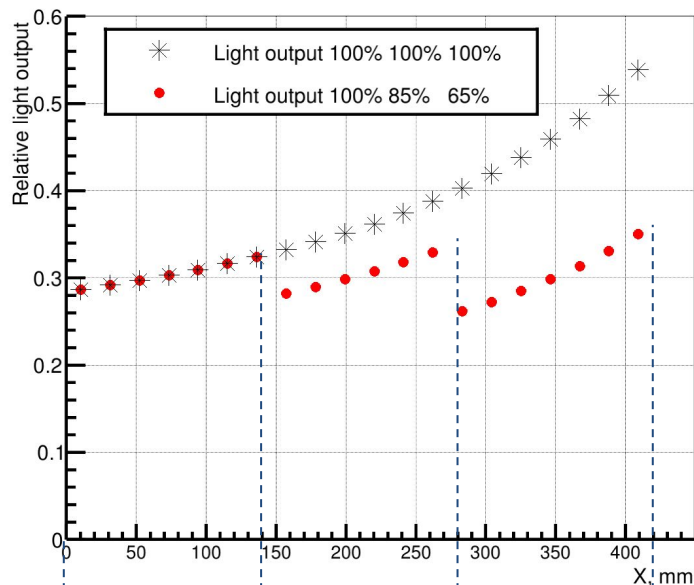


Лаборатория  
ядерных проблем  
им. В. П. Дзельцова



Объединенный  
институт ядерных  
исследований

OSL-8 Mirror



Beam

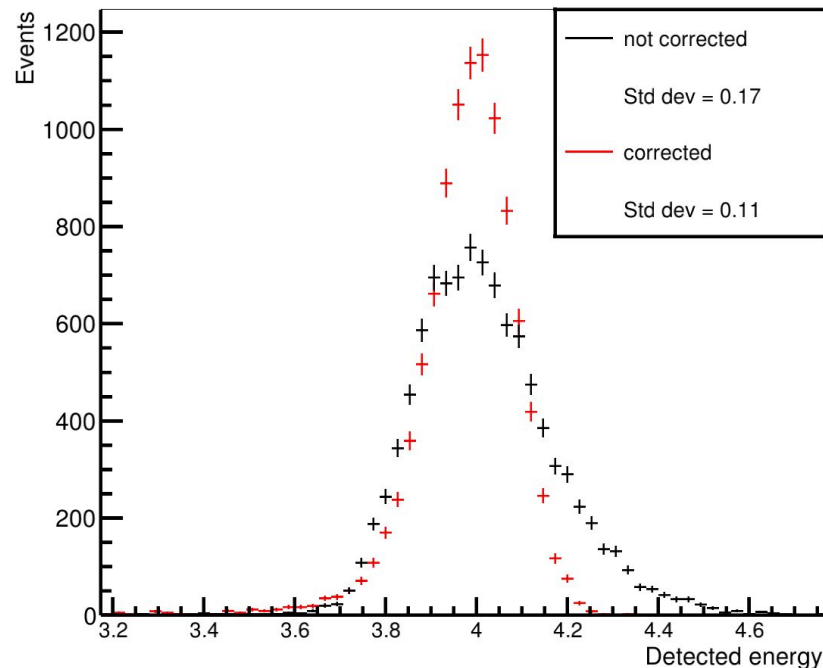
67 Layers  
Light output  
100%

67 Layers  
Light output  
85%

66 Layers  
Light output  
65%

SiPM

Gamma, 4 GeV



# Linearity. Correction.

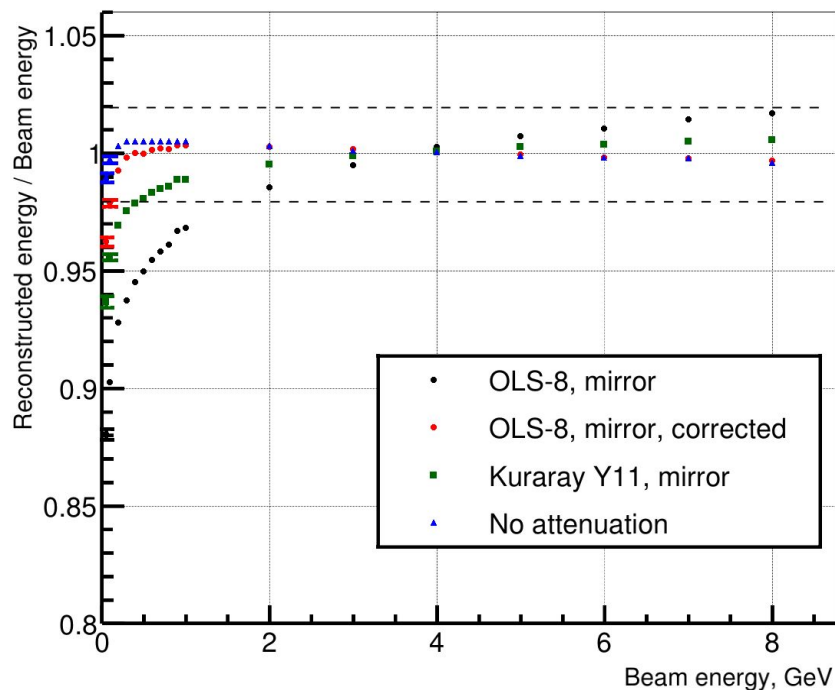


Лаборатория  
ядерных проблем  
им. В. П. Дзелепова

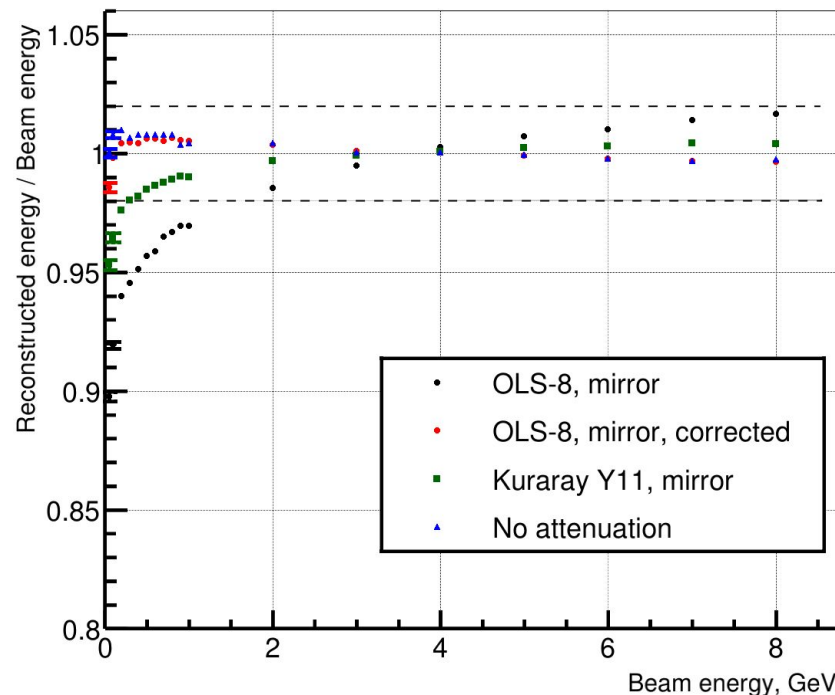


Объединенный  
институт ядерных  
исследований

Electron



Gamma



# Resolution. Correction.

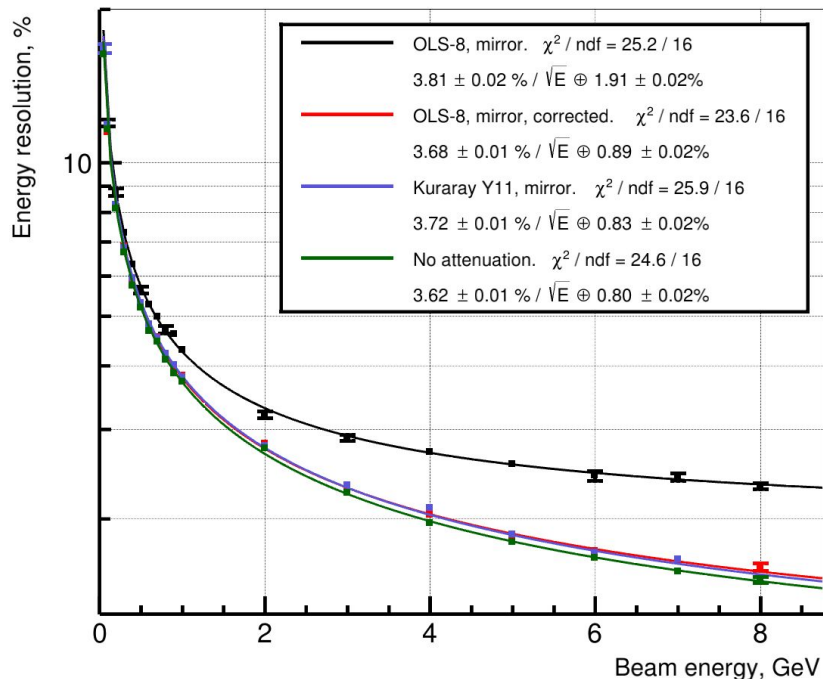


Лаборатория  
ядерных проблем  
им. В. П. Дзелепова

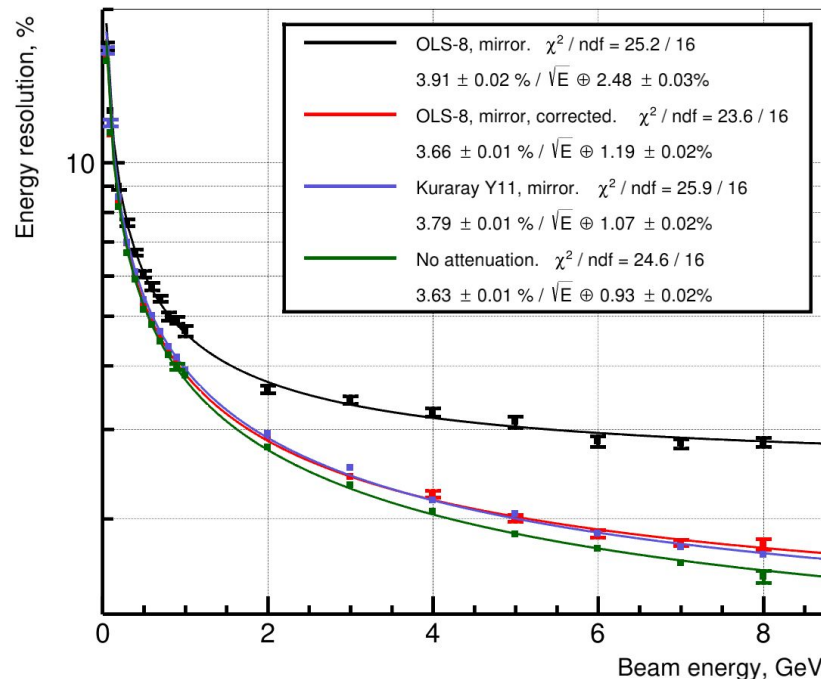


Объединенный  
институт ядерных  
исследований

## Electron

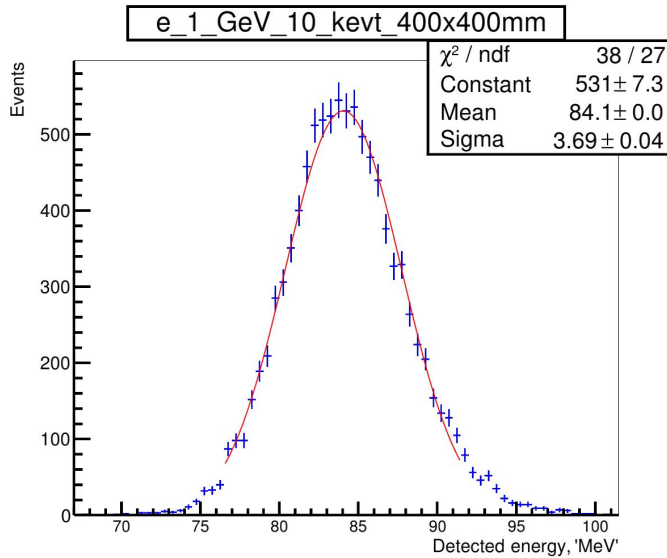


## Gamma

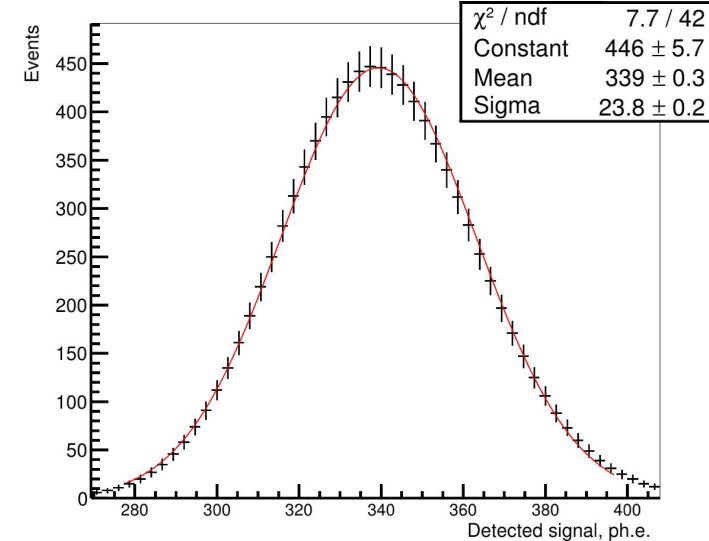




# Optical and electronics effects



Convolution of this distribution  
and Poisson distribution  
(1 GeV = 4000 ph.e.  
Data provided by Oleg  
Gavrishchuk)





# Resolution. Correction. Scintillation.

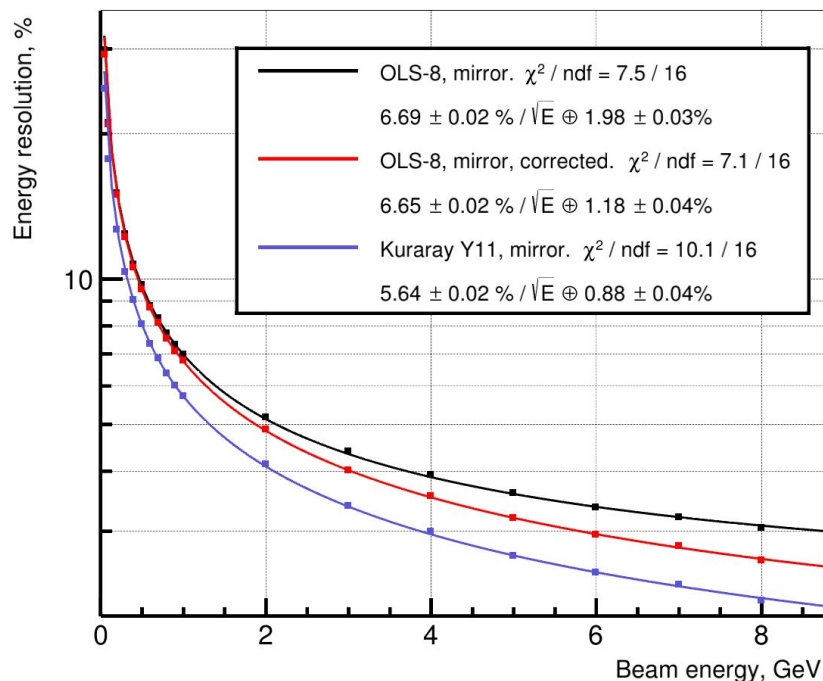


Лаборатория  
ядерных проблем  
им. В. П. Джелепова

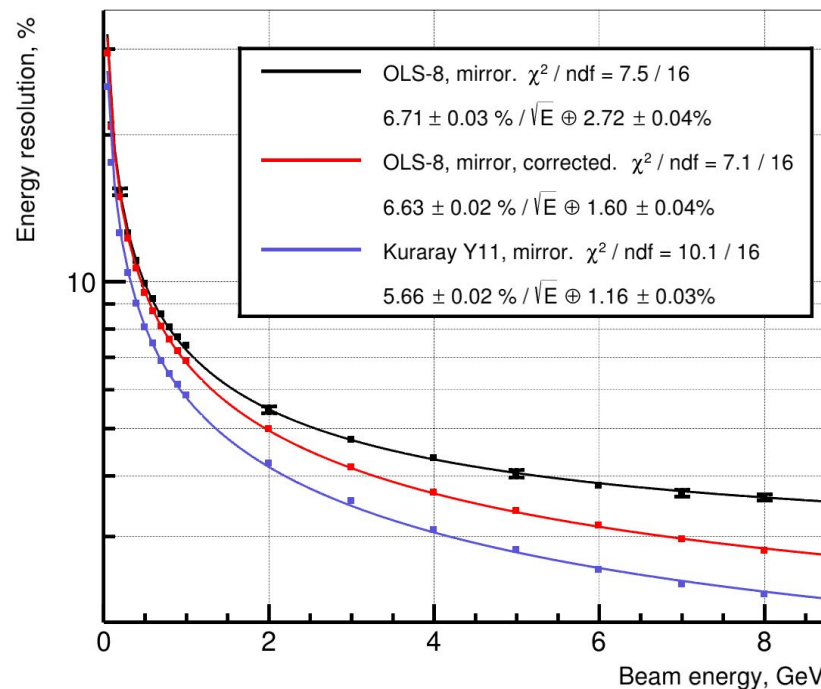


Объединенный  
институт ядерных  
исследований

Electron



Gamma





## Linearity

WLS shifter	Electron		Gamma	
	from	to	from	to
OSL-8 (Not corrected)	2 GeV	8 GeV	2 GeV	8 GeV
OSL-8 (Corrected)	<u>0.1 GeV</u>	<u>8 GeV</u>	<u>0.05 GeV</u>	<u>8 GeV</u>
Kuraray Y11 (Not corrected)	0.4 GeV	8 GeV	0.3 GeV	8 GeV

## Resolution

WLS shifter	Electron		Gamma	
	a, %	b, %	a, %	b, %
OSL-8 (Not corrected)	6.63±0.02	2.06±0.02	6.71±0.03	2.72±0.04
OSL-8 (Corrected)	<u>6.66±0.02</u>	<u>1.12±0.04</u>	<u>6.63±0.02</u>	<u>1.60±0.04</u>
Kuraray Y11 (Not corrected)	5.64±0.02	0.88±0.04	5.66±0.02	1.16±0.03

# Verification of the Monte Carlo model



Лаборатория  
ядерных проблем  
им. В. П. Дзелепова



Объединенный  
институт ядерных  
исследований

## Verification

# Conclusions



Лаборатория  
ядерных проблем  
им. В. П. Дзелепова



Объединенный  
институт ядерных  
исследований

- A Monte Carlo model of the ECal was made (Geant4).
- Calculated linearity and energy resolution of the ECal with Kuraray Y11 and OSL-8 WLS fibers. Showed that the characteristics of the ECal module with Kuraray Y11 is better than with OSL-8.
- Checked the method when using sets of scintillation plates with different light output.
- Showed that the method provides the linearity of the ECal module with fiber OSL-8 and plate sets 100, 85, 65% from 0.1 GeV to 8 GeV.
- Showed that the method improves the energy resolution of the ECal module with fiber OSL-8 and plate sets 100, 85, 65%. For electrons  $a = 6.66 \pm 0.02$ ,  $b = 1.12 \pm 0.04$  and for gamma  $a = 6.63 \pm 0.02$ ,  $b = 1.60 \pm 0.04$ . Constant members have decreased about 45%.



Лаборатория  
ядерных проблем  
им. В. П. Джелепова



Объединенный  
институт ядерных  
исследований

Thank you for your attention!

# Longitudinal energy distributions, electrons vs gamma

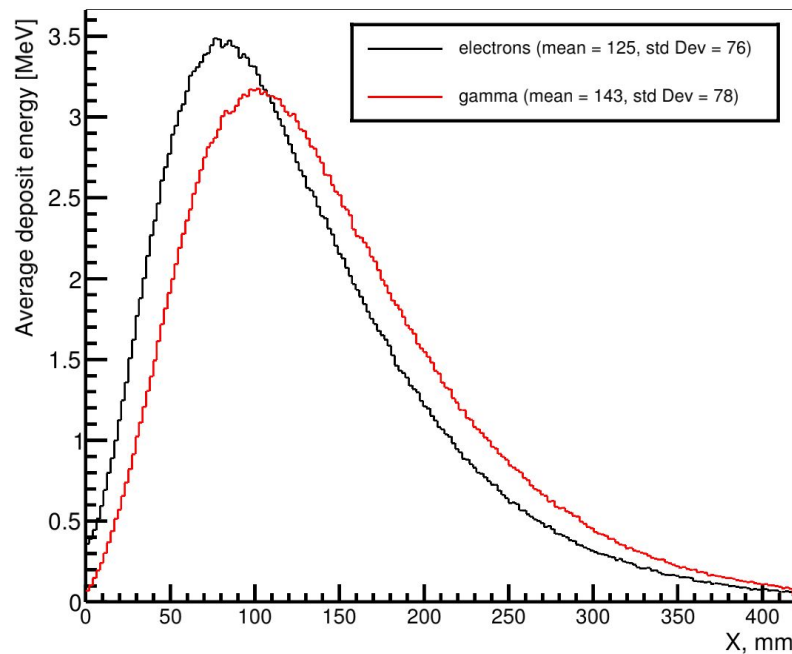


Лаборатория  
ядерных проблем  
им. В. П. Джелепова



Объединенный  
институт ядерных  
исследований

Beam energy 1 GeV



# Longitudinal energy distributions for different attenuation lengths

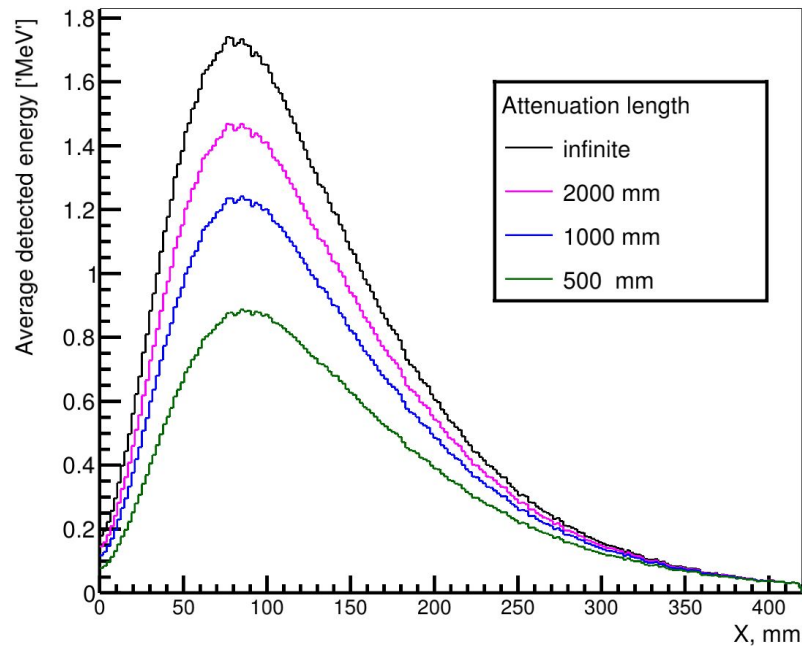
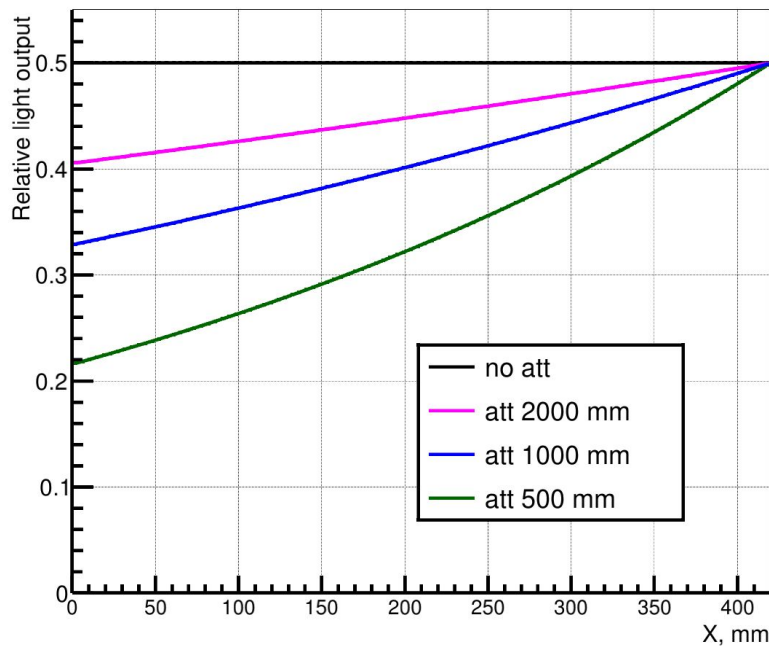


Лаборатория  
ядерных проблем  
им. В. П. Дзелепова



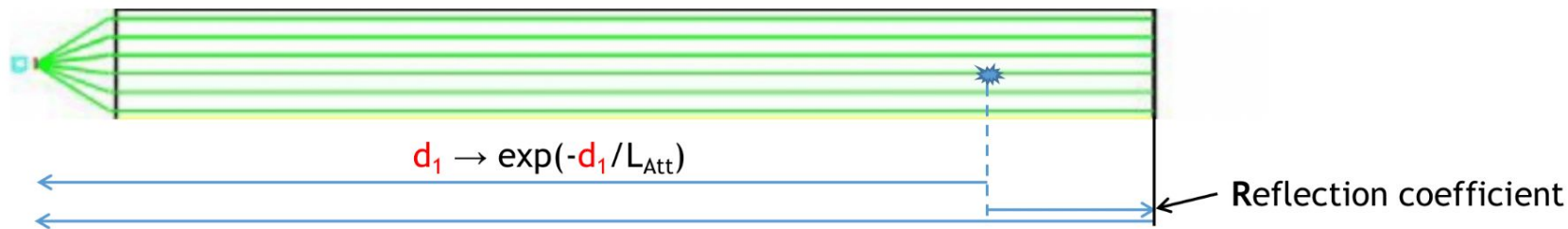
Объединенный  
институт ядерных  
исследований

Electron 1 GeV



# Setup details

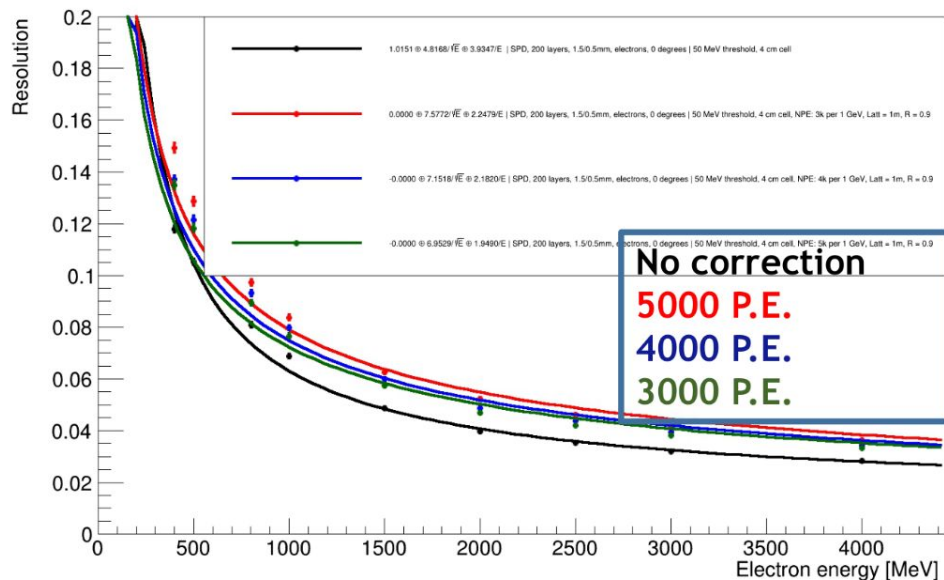
- 200 layers of shashlyk: 0.5 mm Pb/1.5 mm scintillator
- 50 MeV cell energy threshold, 4x4 cm cell
- $L_{\text{Att}} = 1.0$  m,  $R = 0.9$ , 5000 photoelectrons per 1 GeV in scintillator





# Effect of corrections on ECAL resolution

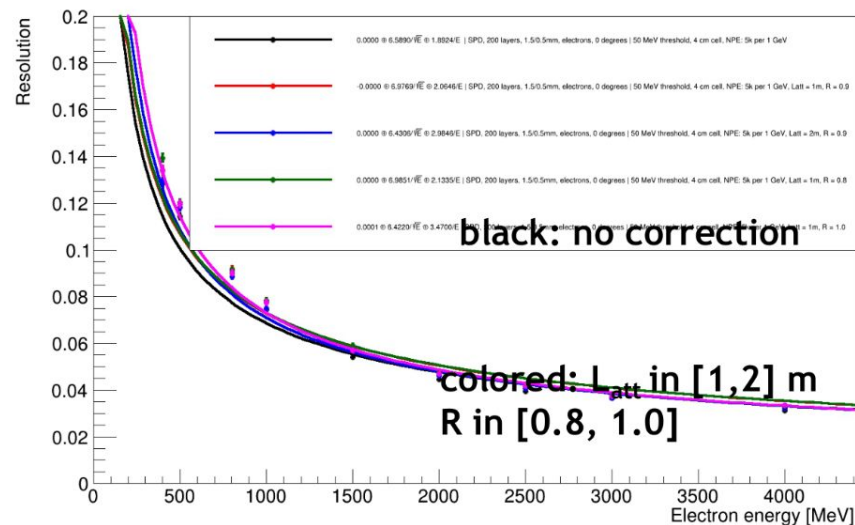
SPD ECAL resolution



All other corrections are also applied

Bigger contribution is from photoelectron statistics

SPD ECAL resolution



# Значения $\chi^2$ для разных степеней свободы



Лаборатория  
ядерных проблем  
им. В. П. Дзелепова



Объединенный  
институт ядерных  
исследований

Число степеней свободы $k$	Уровень значимости $\alpha$					
	0,01	0,025	<b>0.05</b>	0,95	0,975	0.99
1	6.6	5.0	<b>3.8</b>	0.0039	0.00098	0.00016
2	9.2	7.4	<b>6.0</b>	0.103	0.051	0.020
3	11.3	9.4	<b>7.8</b>	0.352	0.216	0.115
4	13.3	11.1	<b>9.5</b>	0.711	0.484	0.297
5	15.1	12.8	<b>11.1</b>	1.15	0.831	0.554
6	16.8	14.4	<b>12.6</b>	1.64	1.24	0.872
7	18.5	16.0	<b>14.1</b>	2.17	1.69	1.24
8	20.1	17.5	<b>15.5</b>	2.73	2.18	1.65
9	21.7	19.0	<b>16.9</b>	3.33	2.70	2.09
10	23.2	20.5	<b>18.3</b>	3.94	3.25	2.56
...	...	...	...	...	...	...

# Linearity. Correction. Electron vs gamma.

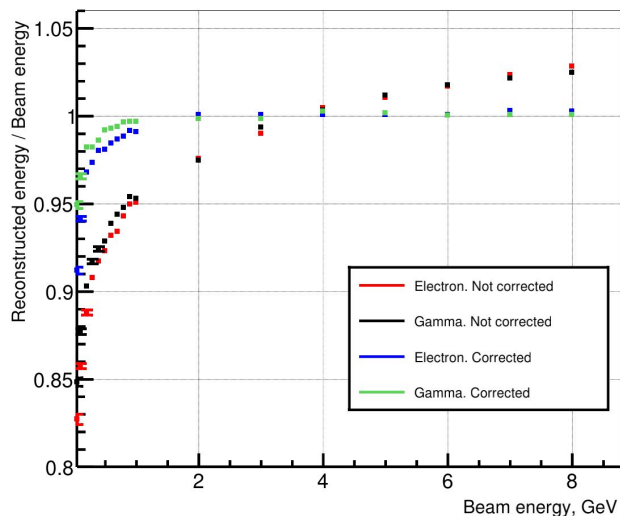


Лаборатория  
ядерных проблем  
им. В. П. Дзелепова

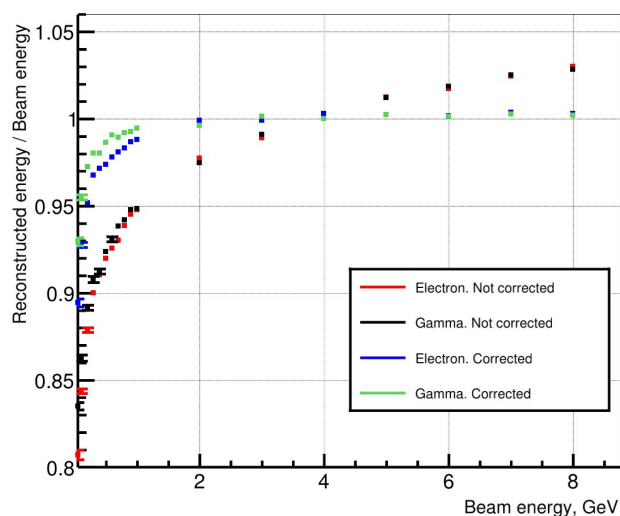


Объединенный  
институт ядерных  
исследований

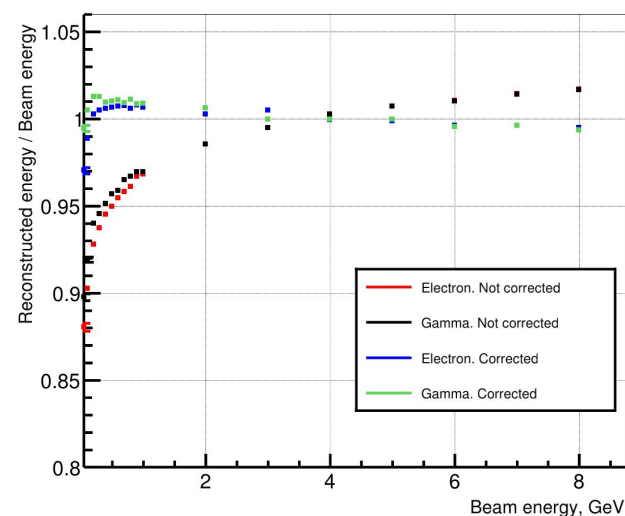
No mirror



Black



Mirror



# Resolution. Correction. Electron vs gamma

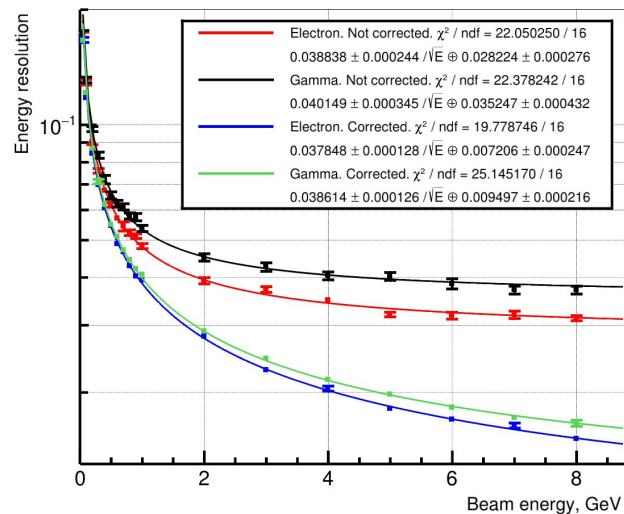


Лаборатория  
ядерных проблем  
им. В. П. Дзельепова

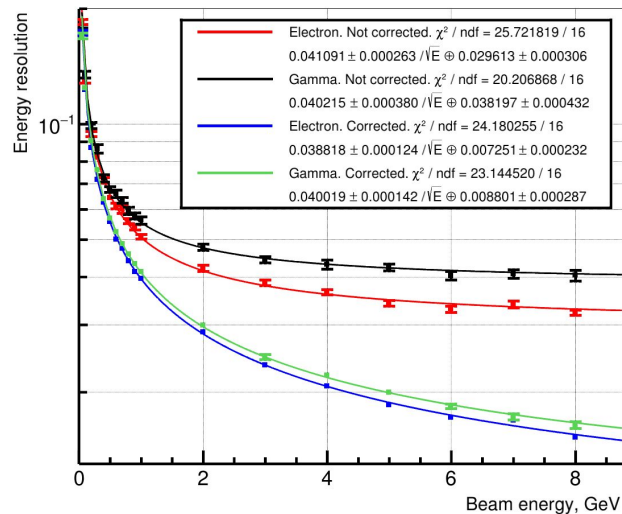


Объединенный  
институт ядерных  
исследований

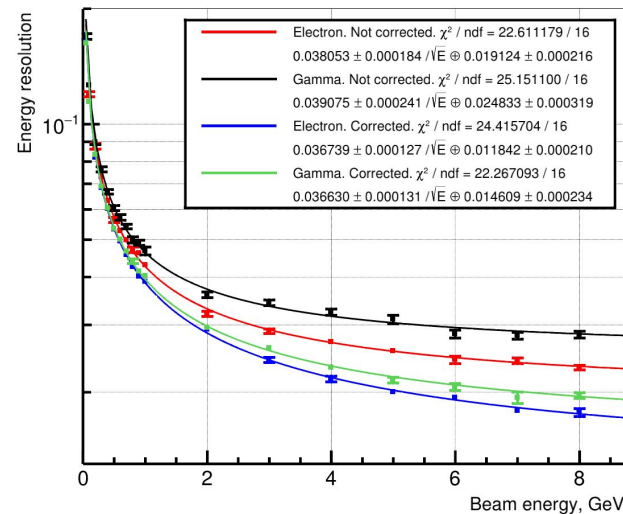
No mirror



Black



Mirror



# Resolution. Correction. Electron vs gamma + scintillation

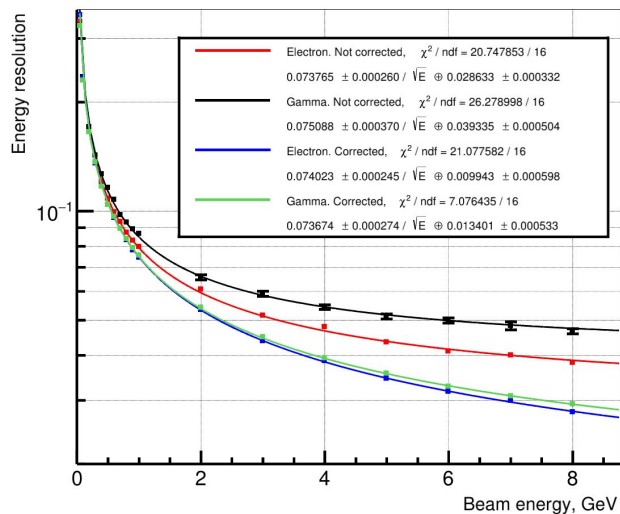


Лаборатория  
ядерных проблем  
им. В. П. Делепова

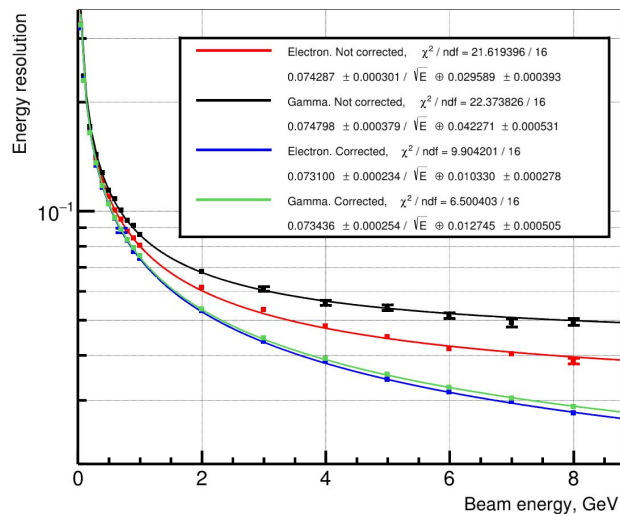


Объединенный  
институт ядерных  
исследований

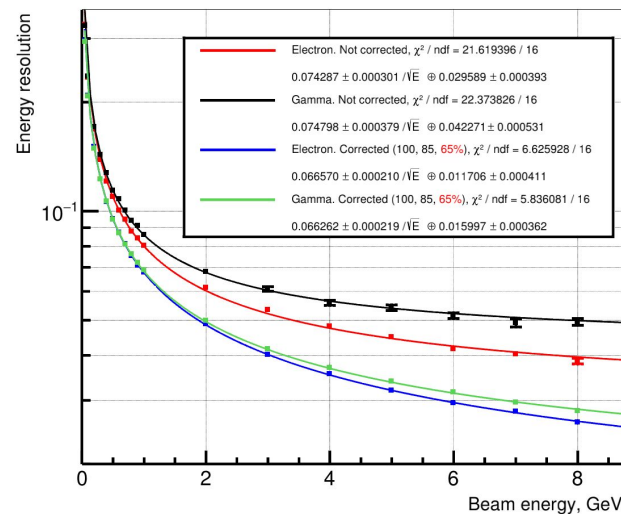
## No mirror



## Black



## Mirror



# Correction of the attenuation of the signal

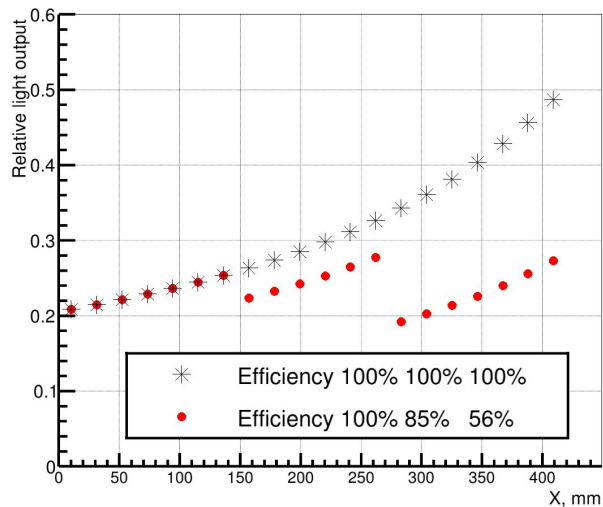


Лаборатория  
ядерных проблем  
им. В. П. Дзелепова

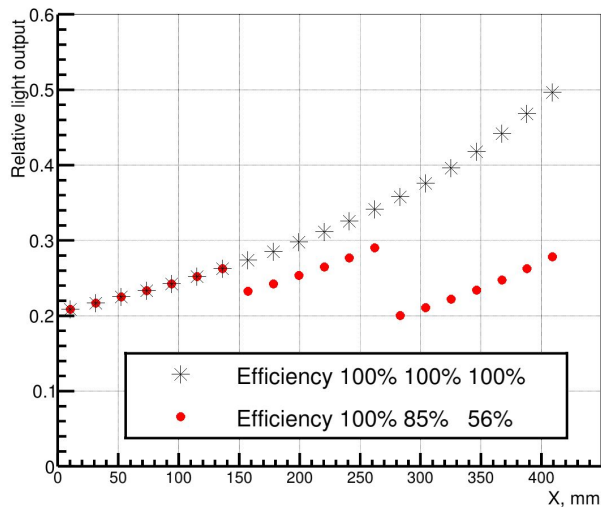


Объединенный  
институт ядерных  
исследований

Tver No Mirror



Tver Black



Tver Mirror

